

### § 37. Определение констант взаимодействия в бета-распаде. Разрешенные переходы разных типов

В теории  $\beta$ -распада предполагается, что постоянные  $C_S$ ,  $C_V$ ,  $C_T$  и  $C_A$  для всех ядер одинаковы, так как они характеризуют взаимодействие нуклонов с электронно-нейтринным полем. Индивидуальные же особенности ядер проявляются в значениях матричных элементов

$$M_S \equiv \int 1, \quad M_V \equiv \int \beta, \quad M_T \equiv \int \beta \sigma \quad \text{и} \quad M_A \equiv \int \sigma.$$

Таким образом, постоянные  $C_i$  можно определить, изучая отдельные примеры  $\beta$ -распада. В § 36 было указано, что исследование формы спектров разрешенных  $\beta$ -переходов приводит к заключению, что должны выполняться равенства

$$C_S C_V = C_T C_A = 0. \quad (37,1)$$

Условия (37,1) выполняются, если две из четырех постоянных равны нулю. Для выяснения вопроса, какие постоянные  $C_i$  равны нулю, можно использовать данные о корреляции направлений вылета электронов и нейтрино при  $\beta$ -распаде.

Если не производить интегрирования по всем направлениям вылета электронов и нейтрино, то вероятность  $\beta$ -распада будет содержать квадраты матричных элементов от волновых функций легких частиц. В приложении III, § Н показано, что матричные элементы разрешенных  $\beta$ -переходов, усредненные по спиновым состояниям легких частиц, соответственно равны

$$2 \langle |(\psi_e^\dagger \beta \psi_v)|^2 \rangle_{\text{спин}} = 1 - \frac{v}{c} \cos \theta, \quad (S)$$

$$2 \langle |(\psi_e^\dagger \psi_v)|^2 \rangle_{\text{спин}} = 1 + \frac{v}{c} \cos \theta, \quad (V)$$

$$2 \langle |(\psi_e^\dagger \beta \sigma \psi_v)|^2 \rangle_{\text{спин}} = 1 + \frac{v}{3c} \cos \theta, \quad (T)$$

$$2 \langle |(\psi_e^\dagger \sigma \psi_v)|^2 \rangle_{\text{спин}} = 1 - \frac{v}{3c} \cos \theta. \quad (A)$$

Учитывая эти результаты, получим, что вероятность  $\beta$ -распада с испусканием электрона и нейтрино в направлениях, составляющих угол  $\theta$  между собой, пропорциональна

$$1 + \alpha \frac{v}{c} \cos \theta, \quad (37,2)$$

где

$$\alpha = \frac{(C_V^2 - C_S^2) \left| \int 1 \right|^2 + \frac{1}{3} (C_T^2 - C_A^2) \left| \int \sigma \right|^2}{(C_V^2 + C_S^2) \left| \int 1 \right|^2 + (C_T^2 + C_A^2) \left| \int \sigma \right|^2}. \quad (37,3)$$

Из (37,2) следует, что при усреднении по всем направлениям вылета нейтрино анизотропия в распределении направлений вылета электронов исчезает. Таким образом, если не фиксировать направления отдачи ядра, которое связано с направлениями вылета электронов и нейтрино, то угловое распределение электронов в разрешенных  $\beta$ -переходах будет изотропным. Если значение  $\alpha$  положительно, то из (37,2) следует, что электрон и нейтрино разлетаются преимущественно в одном направлении; если же  $\alpha$  отрицательно, то электрон и нейтрино разлетаются преимущественно в противоположных направлениях. Угловая корреляция направлений вылета электрона и нейтрино пропорциональна произведению величины  $\alpha$  на отношение скорости электрона к скорости света, поэтому при уменьшении скорости электрона до нуля угловая корреляция исчезает.

Угловую корреляцию между направлением вылета электрона и нейтрино определяют путем измерения направления вылета электрона и импульса ядра, получающегося при распаде. Сделав такие измерения для  $\beta$ -распада  $\text{He}^6$ , Раstad и Раби [10] показали, что коэффициент угловой корреляции  $\alpha$  заключен в пределах  $0,325 < \alpha < 0,340$ .  $\beta$ -распад  $\text{He}^6 (\text{He}^6 \rightarrow \text{Li}^7 + \beta + \bar{\nu})$  относится к разрешенному типу и соответствует переходу  $J=1 \rightarrow J=0$  без изменения четности [11]. Следовательно, для этого перехода  $|\int 1|^2 = 0$ , и согласно (37,3) коэффициент угловой корреляции  $\alpha$  должен равняться  $\pm \frac{1}{3}$ . Знак плюс отвечает случаю  $C_A = 0$ , знак минус  $C_T = 0$ . Приведённое выше экспериментальное значение  $\alpha$  указывает, что реализуется случай  $C_A = 0$ . Другими словами, взаимодействие нуклона с электронно-нейтринным полем, приводящее к правилам отбора Гамова—Теллера, соответствует только тензорному взаимодействию. В последнее время, однако, появились сомнения в точности указанного выше экспериментального значения  $\alpha$  для  $\beta$ -распада  $\text{He}^6$ . Поэтому заключение о том, что  $C_A = 0$ , нельзя считать окончательным, тем более, что имеются экспериментальные указания на равенство нулю постоянной  $C_T$ .

Угловые корреляции между вылетом электрона и нейтрино изменились также при исследовании  $\beta$ -распада  $\text{Ne}^{19}$ . При этом разными авторами были получены следующие значения:

$$\alpha = -0,8 \pm 0,4 \quad (\text{Альфорд и Гамильтон} [12], 1954),$$

$$\alpha = 0,21 \pm 0,08 \quad (\text{Максон, Аллен и Ентчке} [13], 1955),$$

$$\alpha = -0,15 \pm 0,2 \quad (\text{Альфорд и Гамильтон} [14], 1957),$$

$$\alpha = 0,14 \pm 0,13 \quad (\text{Гуд и Лаур} [15], 1957).$$

$\beta$ -распад  $\text{Ne}^{19}$  соответствует переходу  $\frac{1}{2} \rightarrow \frac{1}{2}$ , поэтому оба матричных элемента  $\int 1$  и  $\int \sigma$  могут быть отличными от нуля. Введя

обозначение  $x = \frac{|\int \mathbf{1}|^2}{|\int \sigma|^2}$ , из (37,3) получим:

$$\alpha = \frac{\frac{1}{3} C_T^2 + x(C_V^2 - C_S^2)}{C_T^2 + x(C_V^2 + C_S^2)}, \quad \text{если } C_A = 0;$$

$$\alpha = \frac{-\frac{1}{3} C_A^2 + x(C_V^2 - C_S^2)}{C_A^2 + x(C_V^2 + C_S^2)}, \quad \text{если } C_T = 0.$$

Таким образом, в зависимости от величины  $x$  коэффициент  $\alpha$  должен заключаться в пределах:

$$-1 \leq \alpha \leq \frac{1}{3}, \quad \text{если } C_A = C_V = 0; \quad (\text{а})$$

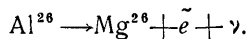
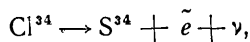
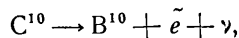
$$\frac{1}{3} \leq \alpha \leq 1, \quad \text{если } C_A = C_S = 0; \quad (\text{б})$$

$$-\frac{1}{3} \leq \alpha \leq 1, \quad \text{если } C_T = C_S = 0; \quad (\text{в})$$

$$-1 \leq \alpha \leq -\frac{1}{3}, \quad \text{если } C_T = C_V = 0. \quad (\text{г})$$

Приведенные выше экспериментальные значения  $\alpha$  для случая  $\beta$ -распада  $\text{Ne}^{19}$  исключают только случай  $C_A = C_S = 0$ . Если положить, как это обычно делалось ранее, на основе экспериментов с  $\text{He}^6$ , что  $C_A = 0$ , то тогда следует положить  $C_V = 0$ . Таким образом, предполагалось, что явление  $\beta$ -распада обусловлено только скалярным и тензорным взаимодействиями.

Для выяснения вопроса о том, какая из постоянных:  $C_S$  или  $C_V$ , равна нулю, можно было бы использовать  $\beta$ -распады только с фермиевскими правилами отбора, так как они не содержат постоянных  $C_T$ ,  $C_A$ . Разрешенные  $\beta$ -распады, удовлетворяющие только правилам отбора Ферми, должны наблюдаться при переходах  $0 \rightarrow 0$  без изменения четности. К переходам такого типа относится [16, 17] позитронный  $\beta$ -распад  $\text{O}^{14}$  на возбужденный ( $2,3 \text{ Мэв}$ ) уровень  $\text{N}^{14}$  и три позитронных распада [18]:



К сожалению, во всех этих случаях измерения угловой корреляции вылетающих легких частиц значительно более сложны, чем в случае  $\beta$ -распадов ядер инертных газов  $\text{He}^6$  и  $\text{Ne}^{19}$ , и пока еще не произведены.

Итак, имеющиеся экспериментальные данные по угловым корреляциям не позволяют сделать однозначный вывод о значении постоянных  $C_S$ ,  $C_V$ ,  $C_T$  и  $C_A$ . До последнего времени принималось, что  $C_A = C_V = 0$ . В этом случае вероятность испускания электрона

с энергией  $\varepsilon$  в интервале  $d\varepsilon$  определяется формулой

$$dP(\varepsilon) = g_S^2 F(Z, \varepsilon) \left( \left| \int 1 \right|^2 + R \left| \int \sigma \right|^2 \right) \frac{(E - \varepsilon)^2 (\varepsilon^2 - m^2 c^4)^{1/2}}{2\pi^3 \hbar^2 c^6} d\varepsilon, \quad (37,4)$$

где  $R = \frac{C_T^2}{C_S^2}$ ,  $g_S = g C_S$ .

Если окажется, что  $C_S = C_T = 0$  \*), то в формуле (37,4) следует заменить  $g_S$  на  $g_V = g C_V$  и положить  $R = \frac{C_A^2}{C_V^2}$ .

Интегрируя (37,4) по всем энергиям испускаемого электрона, находим полную вероятность  $\beta$ -распада, а следовательно, и период полу-распада ( $\tau$ ):

$$P(E) = \frac{\ln 2}{\tau} = \frac{m^5 c^4 g_S^2}{2\pi^3 \hbar^7} \left( \left| \int 1 \right|^2 + R \left| \int \sigma \right|^2 \right) f(Z, E), \quad (37,5)$$

где

$$f(Z, E) = (mc^2)^{-5} \int_{mc^2}^E F(Z, \varepsilon) (E - \varepsilon)^2 (\varepsilon^2 - m^2 c^4)^{1/2} \varepsilon d\varepsilon \quad (37,5a)$$

— безразмерная функция Ферми, зависящая от заряда ядра и от максимальной энергии электрона.

Период полураспада разрешенных  $\beta$ -переходов очень сильно зависит от энергии перехода  $E$ . При малых зарядах ядра  $f(Z, E) \sim E^7$ , если  $E > 5mc^2$ . Поэтому время жизни разрешенных переходов изменяется в очень широкой области и не может служить прямой характеристикой разрешенных переходов. Более характерной величиной, определяющей свойства  $\beta$ -переходов, является произведение  $\tau f(Z, E)$ . Из (37,5) следует

$$\tau f(Z, E) = \frac{D}{\left( \left| \int 1 \right|^2 + R \left| \int \sigma \right|^2 \right)}, \quad (37,6)$$

где  $D$  — универсальная постоянная, зависящая от константы связи  $C_S^2 g^2 = g_S^2$  и имеющая размерность времени

$$D = \frac{2 \ln 2 \pi^3 \hbar^7}{m^5 c^4 g_S^2}. \quad (37,7)$$

Для определения численного значения постоянной  $D$  удобно использовать  $\beta$ -распад, происходящий без изменения спина и четности ( $0^+ \rightarrow 0^+$ ). В этом случае за переход ответствен только матричный элемент  $\int 1$  и  $D = \tau f \left| \int 1 \right|^2$ . Измеряя период полураспада и максимальную энергию

\*) Согласно последним данным эти значения наиболее вероятны. Сосновский, Спивак и Добрынин показали, что векторное и псевдовекторное взаимодействие входят в (35,2) с разными знаками. При этом  $C_A = -(1,25 \pm 0,04) C_V$ .

электронов, можно, оценив значение  $|\int \mathbf{1}|^2$ , вычислить  $D$ . Такие измерения были проделаны Гергартом [17] для  $\beta$ -перехода  $0^+ \rightarrow 0^+$ , происходящего при  $\beta$ -распаде  $O^{14} \rightarrow N^{*14}$ . Полагая  $|\int \mathbf{1}|^2 = 2$  (см. ниже), он нашел  $D = 6550 \pm 150$  сек. Тогда из (37,7) имеем:

$$g_s = 1,374 \pm 0,016 \cdot 10^{-49} \text{ эрг} \cdot \text{см}^3.$$

Из (37,6) следует, что произведение периода полураспада и безмерной функции Ферми, зависящей от максимальной энергии электрона, должно быть постоянным (с точностью до постоянства  $(|\int \mathbf{1}|^2 + R|\int \sigma|^2)$ ) для всех разрешенных переходов. Опыт подтверждает это правило, несмотря на то, что в отдельности время полураспада и  $f(Z, E)$  при разрешенных переходах могут отличаться до  $10^9$  раз.

Значение ядерных матричных элементов, входящих в (37,6), зависит от волновых функций нуклонов в ядре и может быть вычислено только в случае некоторых легких ядер. В частности, можно вычислить матричный элемент  $|\int \mathbf{1}|^2$  для  $\beta$ -распадов, сопровождающихся переходом одного из пары зеркальных ядер в другое, если воспользоваться представлением о зарядовой независимости ядерных сил.

Операторы  $(\hat{\psi}_p^\dagger \hat{O}_i \hat{\psi}_n)$ , входящие в ядерные матричные элементы, при  $\beta$ -распаде «превращают» нейтрон в протон. Другими словами, они изменяют значение проекции  $T_z$ , изотопического спина ядра, не меняя его абсолютной величины. Из условия постоянства полного изотопического спина  $T$  ядра при переходах с матричным элементом  $\int \mathbf{1}$  следует равенство (с точностью до небольших кулоновских поправок) волновых функций начального и конечного ядра. В этом случае, как показал Вигнер [19]:

$$|\int \mathbf{1}|^2 = T(T+1) - T_3^{(h)} T_3^{(k)},$$

где  $T_3^{(h)}$  и  $T_3^{(k)}$  — проекции изотопического спина для начального и конечного ядра соответственно. Например, при  $T = 1/2$ ,  $T_3^{(h)} = \pm 1/2$ ,  $T_3^{(k)} = \pm 1/2$  получим  $|\int \mathbf{1}|^2 = 1$ . При  $T = 1$ ,  $T_3^{(h)} = \pm 1$ ,  $T_3^{(k)} = 0$  получим  $|\int \mathbf{1}|^2 = 2$ . В частности, при  $\beta$ -распаде  $O^{14} \rightarrow N^{*14}$  ( $T = 1$ ) переход соответствует  $T_3 = -1 \rightarrow T_3 = 0$ , поэтому  $|\int \mathbf{1}|^2 = 2$ , что и было использовано выше при вычислении  $D$ .

Вычисление матричного элемента  $|\int \sigma|^2$  обычно базируется на представлении о ядерных оболочках. В случае распада нейтрона оценка матричного элемента наиболее точна:  $|\int \sigma|^2 = 3$ . Если далее учесть,

что для нейтрона  $\left| \int 1 \right|^2 = 1$  и значение  $\tau f = 1260 \pm 200$  [20]\*), то из равенства  $\frac{6550 \pm 150}{1 + 3R} = 1260 \pm 200$  можно получить оценку для  $R = 1,37 \pm 0,40$ , т. е. с точностью до знака определить и вторую постоянную  $\beta$ -распада:  $g_T = \pm R\sqrt{g_S^2}$ . Оценка величины матричных элементов  $\left| \int \sigma \right|^2$  может быть сделана и для переходов между основными состояниями зеркальных ядер, имеющих заполненные оболочки нейтронов и протонов с одним избыточным или недостающим нуклоном, так как эти переходы с хорошим приближением можно рассматривать как одночастичные. Используя оценки для  $\left| \int \sigma \right|^2$ , полученные на основе одночастичного приближения, Финкельштейн и Мосцковский [21] определили значения  $R$  для нескольких  $\beta$ -переходов, у которых наиболее хорошо известны значения  $\tau f$  ( $H^3 \rightarrow He^3$ ;  $O^{15} \rightarrow N^{15}$ ;  $F^{17} \rightarrow O^{17}$ ). Такой же анализ возможных значений  $R$  произведен Я. А. Смородинским [22], который пришел к заключению, что для величины  $R$  можно принять значение, равное 1,7. Пользуясь этим значением  $R$ , условием  $C_S^2 + C_T^2 = C_S^2(1 + R) = 1$  и значением  $g_S = C_S g = 1,374 \cdot 10^{-49} \text{ эрг} \cdot \text{см}^3$ , можно получить значение постоянной  $\beta$ -распада  $g = 2,26 \cdot 10^{-49} \text{ эрг} \cdot \text{см}^3$ .

Сводки значений  $\tau f$  для разных  $\beta$ -распадов даны в работах [23]. Наименьшее значение  $\tau f$  имеет группа легких ядер ( $A < 43$ ), в которых переход происходит между основными состояниями зеркальных ядер. В таблице 23 приведены некоторые случаи  $\beta$ -распадов, для которых значения  $lg_{10}(\tau f)$  заключены в пределах от 2,9 до 3,7.  $\beta$ -переходы, соответствующие таким значениям  $lg_{10}(\tau f)$ , носят название *облегченных* или *сверхразрешенных*  $\beta$ -переходов.

По-видимому, ядерные матричные элементы в случае облегченных  $\beta$ -переходов имеют наибольшее значение, так как волновые функции материнского и дочернего ядер, соответствующие состояниям, принадлежащим одному зарядовому мультиплету, почти одинаковы.

Таблица 23. Значения  $\tau f$  для облегченных  $\beta$ -переходов

$\beta$ -переход	Состояния ядер	$lg_{10}(\tau f)$
$n_1 \rightarrow H^1$	$S_{1/2} \rightarrow S_{1/2}$	3, 1
$H^3 \rightarrow He^3$	$S_{1/2} \rightarrow S_{1/2}$	3,05
$Be^7 \rightarrow Li^7$	$p_{3/2} \rightarrow p_{3/2}$	3,36
$N^{13} \rightarrow Cl^{13}$	$p_{1/2} \rightarrow p_{1/2}$	3,67
$He^6 \rightarrow Li^6$	$^1S_0 \rightarrow ^1S_0$	2,92
$F^{18} \rightarrow O^{18}$	$^3S_1 \rightarrow ^3S_1$	3,57
$Ne^{19} \rightarrow F^{19}$	$(d_{5/2})^2 \rightarrow (d_{5/2})^2$	3,29
$C^{11} \rightarrow B^{11}$	$p_{3/2} \rightarrow p_{3/2}$	3,09

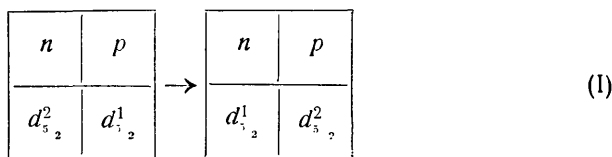
\*) В последнее время Сосновский, Сливак и Добрынин произвели более точные измерения времени жизни нейтрона и нашли, что  $\tau f = 1170 \pm 35$ . Тогда  $R = 1,55 \pm 0,08$ .

К *нормальным разрешенным переходам* относятся переходы, удовлетворяющие правилам отбора Гамова — Теллера или Ферми, с значениями  $\lg_{10}(\tau f)$ , лежащими в интервале 4,1—5,8. В таблице 24 приведены значения  $\lg_{10}(\tau f)$  для некоторых нормальных разрешенных  $\beta$ -переходов.

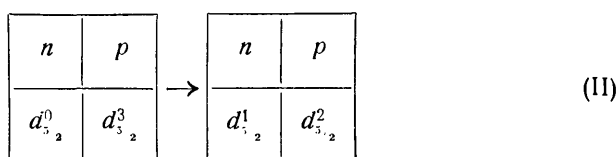
Таблица 24. Значения  $\tau f$  для некоторых нормальных разрешенных  $\beta$ -переходов

$\beta$ -переход	Состояния ядер	$\lg_{10}(\tau f)$
$N^{12} \rightarrow C^{12}$	$p_{1/2} \rightarrow p_{3/2}$	4,1
$Ne^{23} \rightarrow Na^{23}$	$d_{5/2} \rightarrow D_{3/2}$	5,09
$Zn^{69} \rightarrow Ga^{69}$	$p_{1/2} \rightarrow p_{3/2}$	4,37
$Se^{81} \rightarrow Br^{81}$	$p_{1/2} \rightarrow p_{3/2}$	4,72
$Te^{127} \rightarrow In^{127}$	$d_{3/2} \rightarrow d_{5/2}$	5,66
$Sn^{121} \rightarrow Sb^{121}$	$d_{3/2} \rightarrow d_{5/2}$	5,00

Оболочечная модель ядра очень полезна для классификации  $\beta$ -переходов, так как она позволяет в некоторых случаях по спинам ядер, участвующих в переходе, установить четность и конфигурацию соответствующих состояний. Однако для получения количественных данных нужна более детальная теория. Теория оболочек не может, например, объяснить большое различие значений  $\tau f$  для облегченных ( $\tau f \sim 2 \cdot 10^3$ ) и нормальных ( $\tau f \sim 10^5$ )  $\beta$ -переходов. Для иллюстрации этой трудности рассмотрим два  $\beta$ -перехода, происходящие между одинаковыми состояниями нуклонов. Первый переход  $Ne^{19} \rightarrow F^{19}$  соответствует преобразованию внешних нуклонных оболочек ядер:



Второй переход  $O^{19} \rightarrow F^{19}$  соответствует преобразованию внешних оболочек



С точки зрения оболочечной модели матричные элементы переходов (I) и (II) не могут существенно отличаться друг от друга.

Опыт же показывает, что значение  $\tau f$  в переходе  $\text{Ne}^{19} \rightarrow \text{F}^{19}$  равно  $10^{3,29}$ , а в переходе  $\text{O}^{19} \rightarrow \text{F}^{19}$  оно становится равным  $\sim 10^{5,57}$ . Понятно, во втором переходе более существенно искажаются состояния всех нуклонов.

Наконец, к третьему типу разрешенных переходов относятся переходы, удовлетворяющие правилам отбора:  $\Delta J = 0, \pm 1$ , четность не меняется, — имеющие, так же как облегченные и нормальные, характерную форму спектра разрешенных переходов, но соответствующие значениям  $\lg_{10}(\tau f) = 6 - 7$ . На основе оболочечной модели ядра было установлено, что эти переходы сопровождаются изменением орбитального момента нуклонов. Например,  $\beta$ -распад  $\text{C}^{14} \rightarrow \text{N}^{14}$  соответствует переходу  $S_0 \rightarrow D_1$ ,  $\beta$ -распад  $\text{Si}^{31}$  соответствует переходу  $d_{3/2} \rightarrow S_{1/2}$ ,  $\text{Zn}^{65}$  — переходу  $f_{5/2} \rightarrow p_{3/2}$  и т. д. Такие переходы получили название *затрудненных* или *запрещенных переходов*.

### § 38. Запрещенные бета-переходы

Матричные элементы  $\int 1$  и  $\int \sigma$ , определяющие правила отбора разрешенных  $\beta$ -переходов, равны нулю, когда не выполняются условия:  $\Delta J = 0, \pm 1$ , четность не меняется. В этом случае надо учитывать матричные элементы, возникающие от членов, отброшенных при разложении в ряд волновых функций легких частиц, и членов, содержащих скорость нуклонов. Порядок величины таких матричных элементов значительно меньше порядка величины отличных от нуля матричных элементов  $\int 1$  и  $\int \sigma$ , и соответствующие им переходы называются *запрещенными переходами*.

Предположим, что  $\beta$ -распад определяется  $(n+1)$ -м членом разложения электронно-нейтринной функции  $\exp\{-i(\mathbf{k}-\mathbf{q})\mathbf{r}\}$ . Тогда вероятность  $\beta$ -распада будет определяться матричными элементами:

$$\alpha_n \equiv \left| \int (\mathbf{k} - \mathbf{q}) \mathbf{r} \right|^{2n} \quad \text{и} \quad \beta_n \equiv \left| \int \{(\mathbf{k} - \mathbf{q}) \mathbf{r}\} \sigma \right|^{2n}.$$

$\beta$ -переходы, соответствующие матричным элементам  $\alpha_n$  и  $\beta_n$ , называются *n-кратно запрещенными*. Матричному элементу  $\alpha_n$  соответствуют скалярное и векторное взаимодействия и правила отбора  $|\Delta J| \leq n$  с изменением четности, если  $n$  нечетное. Матричному элементу  $\beta_n$  соответствует тензорное и псевдовекторное взаимодействия и правила отбора  $|\Delta J| \leq n+1$  с изменением четности, если  $n$  нечетное.

$\beta$ -переходы с правилом отбора  $|\Delta J| = n+1$  и изменением четности при  $n$  нечетном получили название *的独特ных (unique) запрещенных переходов*. В настоящее время установлено, что многие запрещенные  $\beta$ -переходы относятся к типу уникальных переходов.

Из вида матричного элемента  $\beta_n$  следует, что выражение для вероятности уникальных  $n$ -кратно запрещенных  $\beta$ -переходов, усредненное